

Sveučilište u Zagrebu
Fakultet kemijskog inženjerstva i tehnologije

UVOD U RIETVELD-OVU METODU SIMULIRANJA RENDGENOGRAMA

Neven Ukrainczyk

XRD SHIMADSU 6000

Amaciz kolokvij 16. svibanj 2010

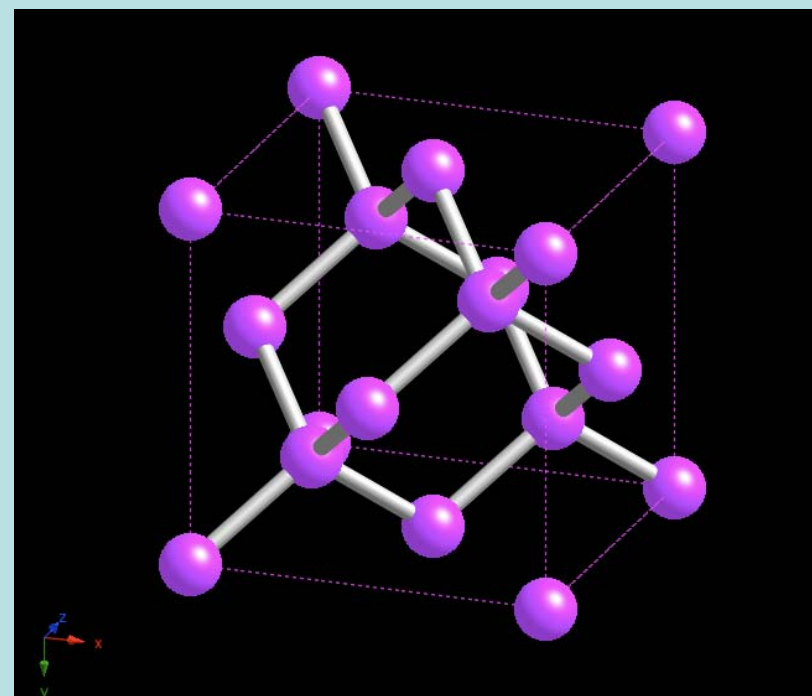
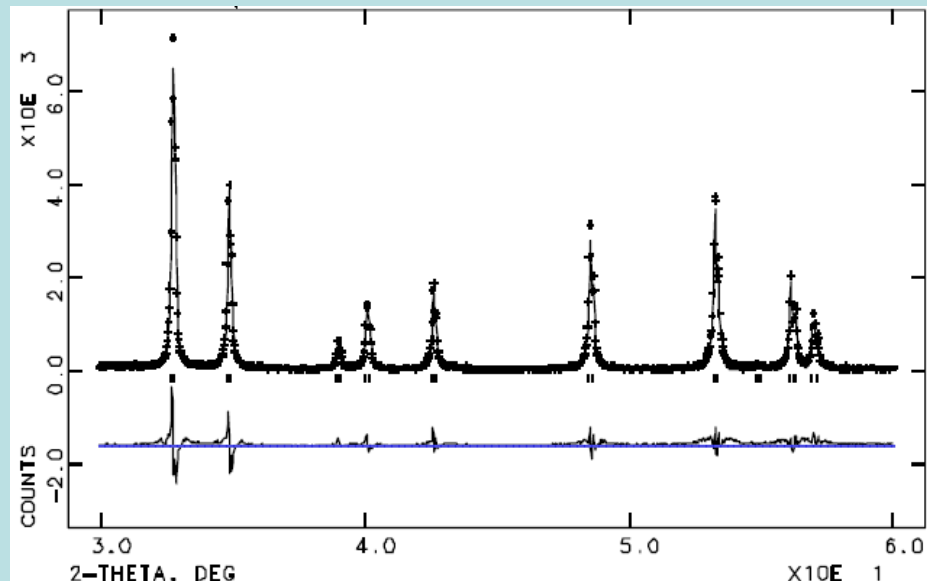
Difraktogram

DIFRAKCIJSKI MAKSIMUMI

Položaj

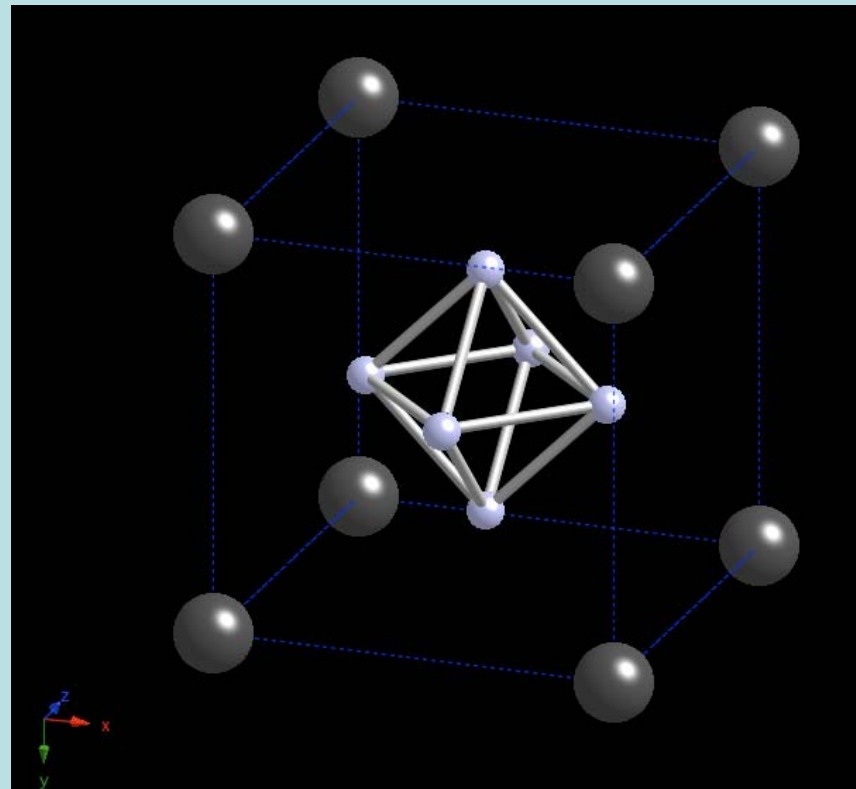
- Dimenzije jed. čelije
- Kristalni sustav
- Simetrija prostorne grupe
- Translatacijska simetrija
- Kvalitativna analiza/identifikacija min. faza

- **Intenzitet dif. maksimuma**
 - Sadržaj jed. čelije (x,y,z, U_{iso})
 - Simetrija točaka
 - Kvantitativna analiza min. faza
- **Oblik dif. max.**
 - Veličina kristalita (2-200 nm)
 - Nejednolika mikro-naprezanja
 - Defekti



Kristaliničnost

- Kristal – uređena nakupina atoma – 3D periodičnost
- Polikristalit – veliki broj manjih (μm - nm) kristalića

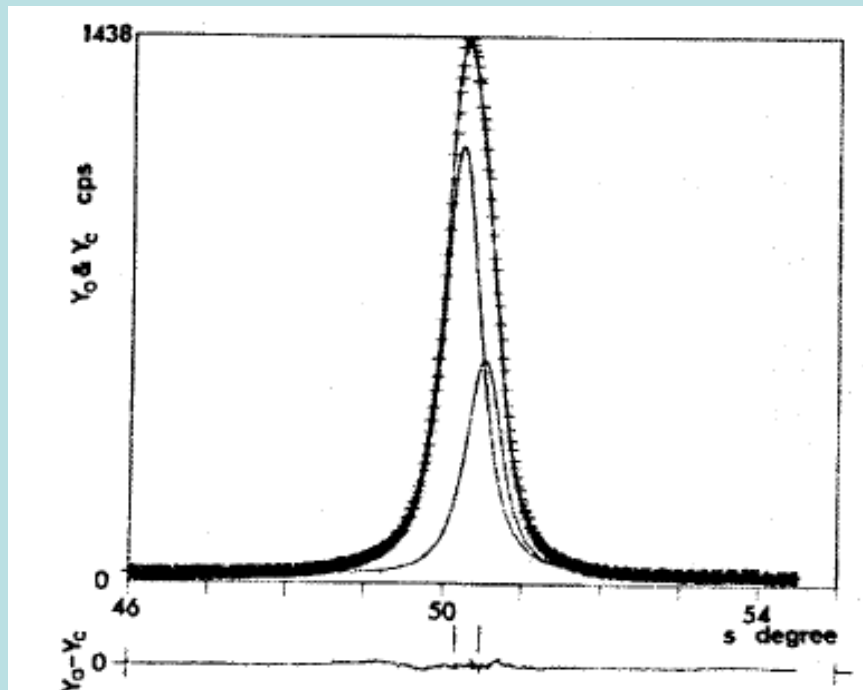


Ograničenja difrakcije praha u odnosu na kristal

- 1D projekcije 3D difrakcijskih krivulja (dobivenih na kristalu):
 - Gubitak informacije
 - Preklapanje refleksija dif. maksima
- Simetrija kristala? - NE direktno iz difraktograma praha
- Smjese više faza – izazov
- Preferirana orientacija (slojeviti minerali):
 - Mijenja intenzitete dif. max.

Preklapanje refleksija

- Ne koristiti preklopljene refleksije
- Grupiranje intenziteta
- Dekonvolucija (razdvajanje) dif. max. ('fitanjem')
- Simuliranje (fitanje) cijelog difraktograma



1969 Hugo M. Rietveld – neutronska dif. praha
(jednostavni oblik ref.)

1977 - Cox, Young, Thomas i dr. prvi primjenjuju
Rietveld metodu - synchrotron X-ray

- Računa (simulira) cijeli difraktogram i uspoređuje s eksperimentalnim intezitetima (točku po točku)
- Ne-linearno optimiranje parametara modela (velik broj koreliranih parametara)
- Prostorna grupa je konstanta!

MODEL

DVA DIJELA:

- 1. *Kristalografski model*: opisuje
 - dimenzije i simetriju jed. ćelije, pozicije atoma, temperaturne parametre (vibracija), (engl. *occupancy*)
- 2. *Model uređaja*: opisuje
 - optiku i konfiguraciju difraktometra
 - oblik dif. max. i baznu liniju

Kristalografski model

- Prostorna grupa (= konst.)
- Parametri rešetke
- Pozicije atoma
- Popunjenošć pozicija atomima
- Temperaturni parametar atoma
 - Isotropni i anisotropni

Model uređaja

- Bazna linija (*background*)
- Oblik dif. max.
 - Ovisnost širine ‘*pikova*’ s 2Theta (cagliotti parametri u , v , w)
 - Pseudo-voigt ili dr. parametarske funkcije
 - Korekcija za asimetriju
 - Anizotropno širenje
- Parametri korekcije
 - pomak kuta (engl. *zero shift*)
 - pomak uzorka (engl. *specimen displacement*)
 - absorpcija
 - poništavanje (engl. *extinction*)
 - hrapavost
 - poroznost

Inicijalizacija parametara

- Početni model što bliže pravom/traženom rješenju
 - Optimiranje Rietveld m. – zadnji korak u određivanju strukture
- Točni parametri ćelije
- Model uređaja reprezentativan
- Razumna bazna linija

Eksperimentalni uvjeti

- Visoka kvaliteta exp. podataka
 - podešen i kalibriran uređaj
 - odgovarajući volumen uzorka
 - dobra statistika brojača detektora ($\sim 2s/step$)
 - odgovarajući 2Θ korak ($0.01-0.02^\circ$)
 - široko 2Θ područje ($0-100^\circ$)
 - transparentnost uzorka
 - površinska hrapavost uzorka
 - preferirana orijentacija
 - veličina čestica

OPTIMIRANJE

- Funkcija cilja

$$S = \sum_i w_i \left[y_i (\text{exp}) - y_{ci} (\text{rač}) \right]^2 \rightarrow \min$$

- Sumira se po svim točkama (Int., 2Θ)

$$y_{ci} = s \sum_K L_K |F_K|^2 \varphi(2\theta_i - 2\theta_K) P_K A + y_{bi} \quad (2)$$

s - Faktor intenziteta

K - Miller-ovi indeksi h,k,l refleksije

L_K - Lorentz-ov, polarizacijski faktor (i multipliciteta)

φ - Funkcija oblika 'pika'

P_K - Funkcija preferirane orijentacije

A - Absorpcionski faktor

F_K - Strukturni faktor k -te refleksije

y_{bi} - Intenzitet bazne linije u točki i

- **Parametri koji nisu direktno uključeni u jed. (2)**

Parametri strukture

- Jedinična ćelija ($a,b,c;\alpha,\beta,\gamma$): može se optimirati, ali početne vrijednosti blizu rješenju
- ***Prostorna grupa***: mora biti prava, ne optimira se!

$$F_{hkl} = \sum_j N_j f_j \exp[2\pi i(hx_j + ky_j + lz_j)] \exp\left(-B \sin^2 \frac{\theta}{\lambda^2}\right)$$

N_j - popunjeno mjesto atomima (prazna mesta)

f_j - structural factor for atom j

x_j, y_j, z_j , - koordinate atoma j

B - temperaturni faktor (temp. vibracije)

Y_{bi} bazna linija

TRI Načina:

1. Manualni unos: lista (vektor) intensiteta (oduzimanje točaka)
2. Linearna interpolacija – interpolacija između specifičnih točaka
3. Funkcija – optimiranje parametara funkcije

Oblik difrakcijskih maksimuma

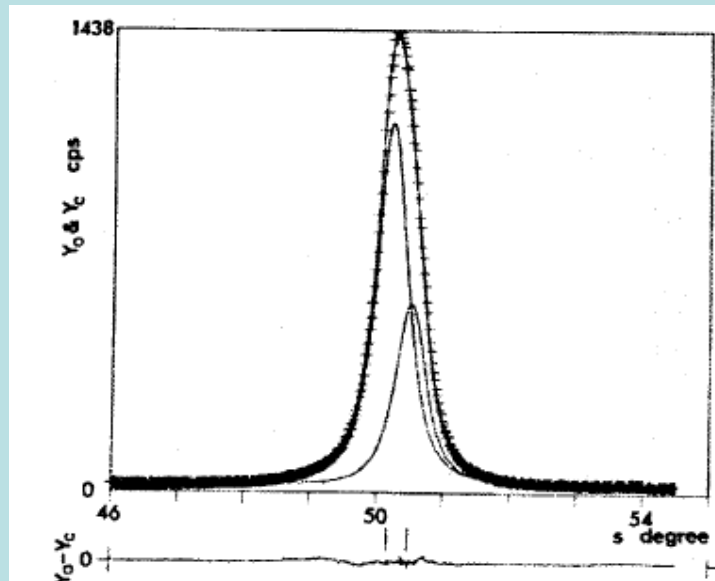
- Konvolucija (superpozicija) utjecaja
 - uzorka i uređaja
- Opisan pseudo-Voigt (pV) funkcijom:

$$pV = \eta L + (1-\eta)G$$

G - Gausova funkcija

L - Lorentzova funkcija

η – optimiran parametar mješanja

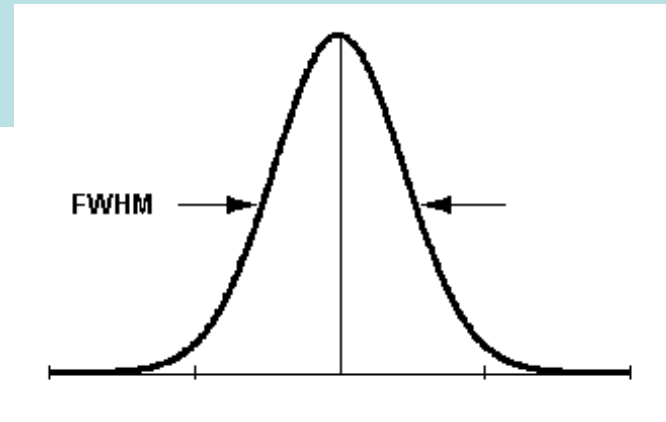
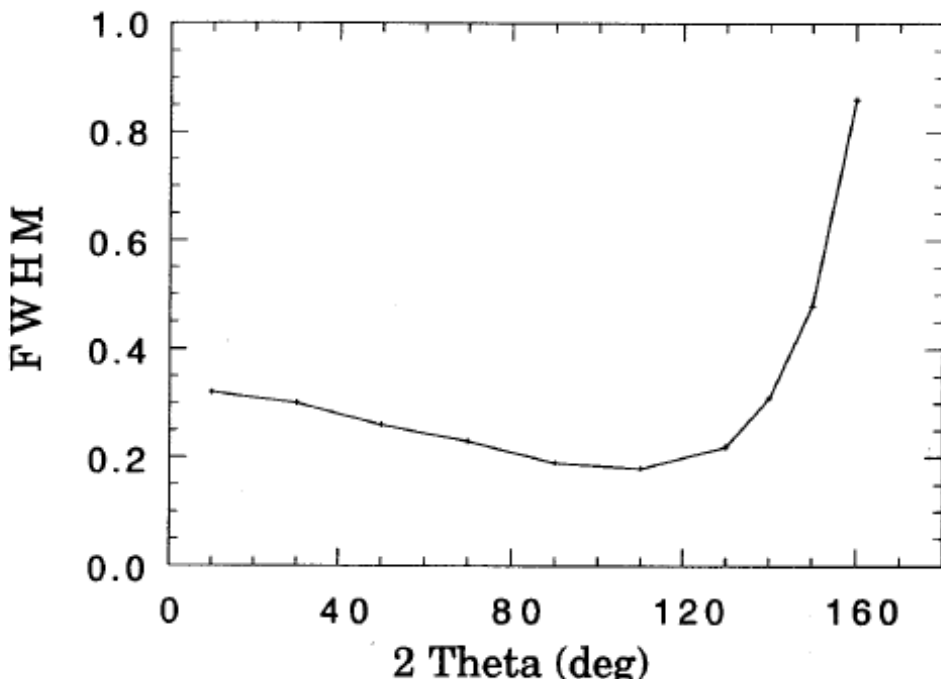


Širina refleksijskih maksimuma

- Utjecaj uređaja
- Konačne dimenzije kristalita (ne čestica!)
($< 100\text{-}500 \text{ nm}$)
- Mikro-naprezanje (nejednolika deformacija atoma)
- Defekti

Ovisnost širine dif. maks. sa kutom

- Caglioti funkcija



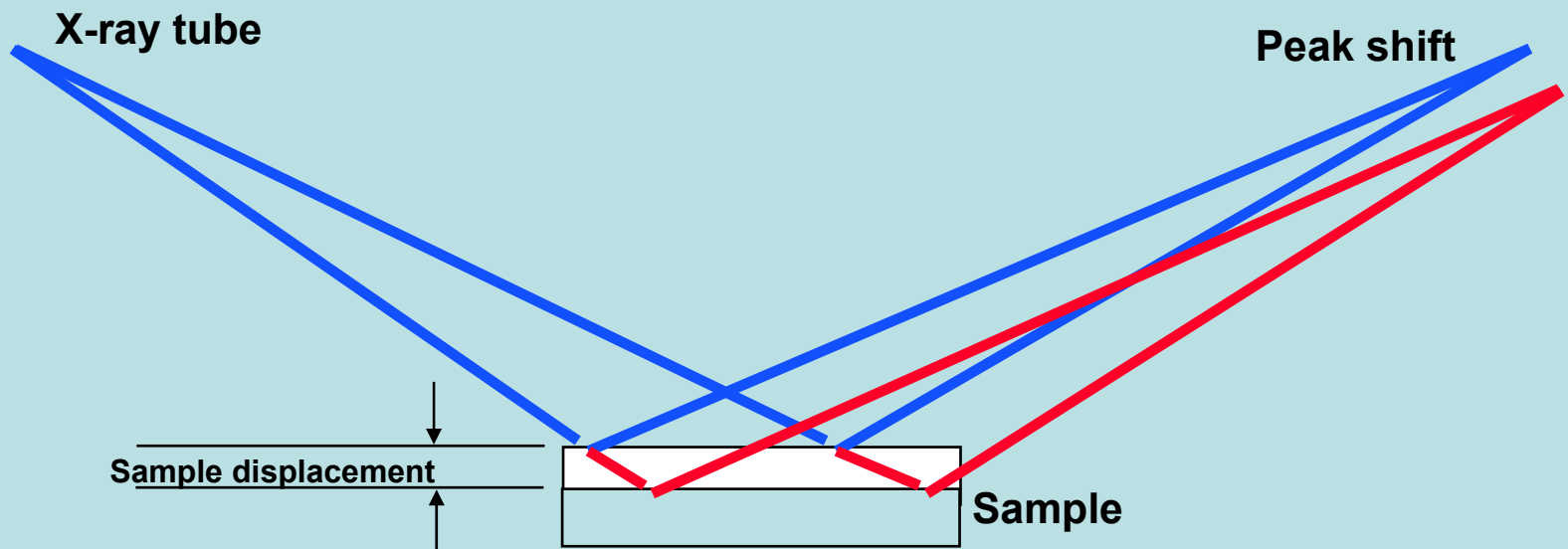
$$H^2 = U \tan^2 \theta + V \tan \theta + W$$

Caglioti, Paoletti and Ricci, NIM 3, 223 (1958)

Preferirana orijentacija

- Unosi sustavna odstupanja u intenzitetima refleksija (slojeviti minerali: gline, LDH)
- Mogu biti opisana pomoću **March-Dollase** funkcijom

Utjecaj pomaka uzorka



Utjecaj mikroabsorpcije na QXRD

- Razlike u gustoćama/absorbciji min. faza
- Fino usitnjavanje (1 um) smanjuje utjecaj mikroabsorpcije
- Korekcija po Brindley
- Prednost RIR metode (unutarnjeg standarda)

Vrednovanje rezultata optimiranja – R indeksi

- težinski (R-weighted)

$$R_{wp} = \left\{ \frac{\sum w_i (y_i - y_{ci})^2}{\sum w_i (y_i)^2} \right\}^{1/2}$$

- Da se naglase maksimumi u odnosu na baznu liniju

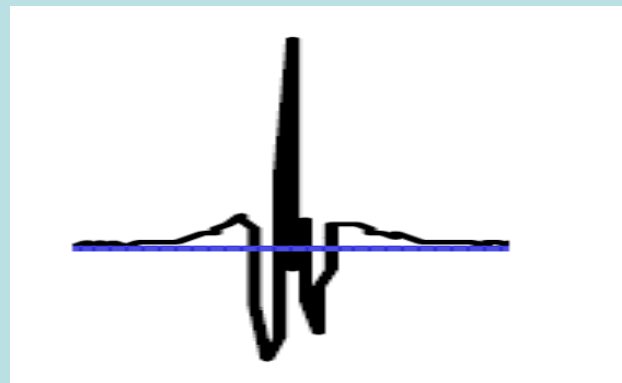
Oblik pogreške (eksp. – rač.)

Smjernice za daljenje popravljanje, npr.:

- Pomak (debljina) uzorka



- Oblik funkcije refleksije



Optimirnje

- Puno krivih minima, divergencija, ...
- $\sim 20 - 200$ parametara za optimiranje
- Visoki stupanj korelacije između parametara
- Pravilno fiksiranje parametara da se izbjegnu poteškoće njihovih međusobnih korelacija
 - Sporija relaksacija par. koji su dalje od rješenja
- \rightarrow znanje (vještine) optimiranja,
- računala (softwera)

Strategija optimiranja

Ray Young:

- Faktor intenziteta
- Pomak kuta ili pomak uzorka (ne zajedno)
- Linearna bazna linija
- Parametri ćelije
- Još (parametara za) baznu liniju
- Širina funkcije refleksije, w
- Pozicije atoma
- Preferirana orijentacija
- Isotropni temperaturni faktori, B
- u , v , i drugi parametri oblika funkcije refleksije
- Anisotropni temperaturni faktori

C:/lachlan/gsas/pbs04/PBS04.EXP (modified)

File Options Powder Xtal Graphs Results Calc Import/Export Help

expnam expedt genles powpref powplot lstview liveplot

LS Controls Phase Histogram Scaling Profile Constraints MD Pref Orient SH Pref Orient

Select a histogram

h#	type	bank	ang/wave	t
1	XCR	1	1.54050	10.00
2	NCR	1	1.90900	10.0

Hist 1 -- Phase 1 (type 3)

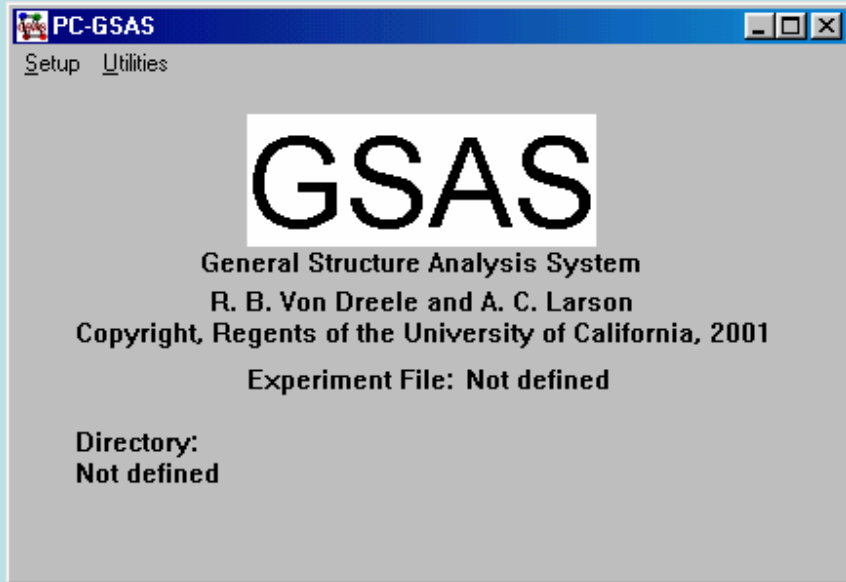
Damping 9 Peak cutoff 0.01000 Change Type

GU	<input type="text"/> 2.000000	GV	<input type="text"/> -2.000000	GW	<input type="text"/> 5.000000
GP	<input type="text"/> 0.000000E+000	LX	<input type="text"/> 1.000000	LY	<input type="text"/> 1.000000
S/L	<input type="text"/> 0.000000E+000	H/L	<input type="text"/> 0.000000E+000	trns	<input type="text"/> 0.000000E+000
shft	<input type="text"/> 0.000000E+000	stec	<input type="text"/> 0.000000E+000	ptec	<input type="text"/> 0.000000E+000
sfec	<input type="text"/> 0.000000E+000	L11	<input type="text"/> 0.000000E+000	L22	<input type="text"/> 0.000000E+000
L33	<input type="text"/> 0.000000E+000	L12	<input type="text"/> 0.000000E+000	L13	<input type="text"/> 0.000000E+000
L23	<input type="text"/> 0.000000E+000				



Programi

- Besplatni (freeware)
 - GSAS + ExpGUI
 - Fullprof
 - Rietica
 - PSSP (polimeri)
 - Maud (loš)
 - PowderCell (uglavnom za simuliranje rendgenograma i transformiranje struktura, nije za optimiranje)
- Komercijalni
 - PANalytical HighScore Plus
 - Bruker TOPAS (i akademski)
 - MDI Jade or Ruby



Zaključak

- Ulazni podaci:
- Zahtjeva 'razumni' strukturni model svih faza
- zadnji korak u određivanju strukture (indeksiranje, prostorna grupa, simetrija,...)
- uređaj

Mogućnosti

- Identifikacija kristalne strukture
- Fino podešavanje strukture (*refinement*)
 - Optimiranje Rietveld m.
 - Čvrste otopine, kristali mješanci, izmjena/dopiranje atoma
- Qanti analiza: poli-fazni sastav
 - Amorfna faza

$$\sum w_i = 1.0$$

$$w_i = \frac{S_i M_i V_i}{\sum_j S_j M_j V_j}$$

- uz pravilan/precizan rad, uobičajena
 - točnost unutar par %
 - donja granica detekcije manja od 1 %

**Outcomes of the International Union of Crystallography
Commission on Powder Diffraction round robin on quantitative
phase analysis: samples 1a to 1h.** Madsen IC, Scarlett NVY,
Cranswick LMD, Lwin T, J. Appl. Crystallography **34**, 409-426
(2001)

Ograničenja

- Kristalografija
- Složeni sustavi
 - Kristalografski model?
 - Jedinična ćelija, simetrija?
- XRD mjerjenje
 - Kvaliteta difraktograma:
 - Preklapanje ‘pikova’
 - Utjecaj XRD uređaja (kalibracija, model)



Ograničenja

- Oprez kod faza sa značajnjom razlikom u gustoćama (absorpcijkim koeficijentom) ili veličinama kristalita
- Udio amorfne faze?

Vještine (vrsno poznavanje)

- kristalografije
- optimiranja (15 - 200 parametara)
 - (*'Ill posed problems', high correlations*)
 - Postepeno (djelomično) optimiranje manjeg broja par. (engl. *constraints*)
 - ograničenja vrijednosti par.: intervali $a < p_x < b$
 - (engl. *restraints*)
 - Fizikalni smisao!
- računala (softwera)
- XRD uređaja

Literatura

- “Rietveld refinement guidelines”, *J. Appl. Cryst.* **32** (1999) 36-50
- R.A. Young (ed), *The Rietveld Method*, IUCr 1993
- V.K. Pecharsky and P.Y. Zavalij, *Fundamentals of Powder Diffraction and Structural Characterization of Materials*, Kluwer Academic 2003.
- DL Bish and JE Post (eds), *Modern Powder Diffraction, Reviews in Mineralogy vol 20*, Min. Soc. Amer. 1989.
- CCP14 website <http://www CCP14.ac.uk/tutorial/tutorial.htm>
- **Outcomes of the International Union of Crystallography Commission on Powder Diffraction round robin on quantitative phase analysis: samples 1a to 1h.** Madsen IC, Scarlett NVY, Cranswick LMD, Lwin T, *J. Appl. Crystallography* **34**, 409-426 (2001)